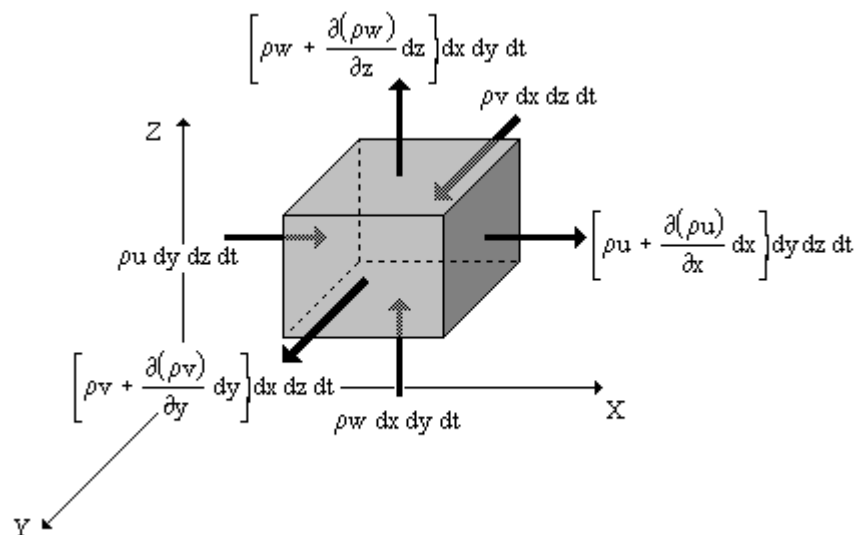


ELEMENTOS DE MECÂNICA DOS FLUIDOS

Equações Fundamentais. Conservação
de Massa, Quantidade de Movimento e
Energia



Antônio Cardoso Neto

ELEMENTOS DE MECÂNICA DOS FLUIDOS

ÍNDICE

1. INTRODUÇÃO E GENERALIDADES	2
2. CONCEITOS BÁSICOS	3
2.1. Regimes Laminar e Turbulento	3
2.2. Grandezas Instantâneas e Médias	4
2.3. Nomenclatura Elementar	4
3. EQUAÇÕES GERAIS DO ESCOAMENTO	5
3.1. Conservação de Massa	5
3.2. A Equação de Euler	6
3.3. A Equação Complementar	8
4. CINEMÁTICA DOS FLUIDOS	8
5. FORMULAÇÕES DECORRENTES DA EQUAÇÃO DE EULER	10
5.1. A Equação de Lagrange	10
5.2. A Equação de Bernoulli	11
6. CONDIÇÕES INICIAIS E DE CONTORNO	12
7. DISTRIBUIÇÃO DAS PRESSÕES	12
8. APLICAÇÕES DA EQUAÇÃO DE BERNOULLI	14
8.1. Extensão do Teorema de Bernoulli aos Líquidos Reais	15
8.1.1. O coeficiente de Coriolis	15
8.1.2. Perda de carga	16
9. INTERCÂMBIO DE IMPULSO	17
9.1. O Teorema de Euler	17
9.2. Aplicações do Teorema de Euler	18
10. ESCOAMENTO DOS FLUIDOS VISCOSOS	19
10.1. Viscosidade	19
10.2. Viscosidade dos Fluidos Reais	20
10.3. O Teorema do Tetraedro dos Esforços	22
11. TENSÕES E DEFORMAÇÕES DE ORIGEM VISCOSA NOS FLUIDOS NEWTONIANOS	22
11.1. Tensões Normais	23
11.2. Tensões Tangenciais	24
11.3. Hipóteses de Stokes	24
11.4. Equilíbrio Dinâmico	24
12. BIBLIOGRAFIA RECOMENDADA	25

ELEMENTOS DE MECÂNICA DOS FLUIDOS

Equações Fundamentais. Conservação de Massa, Quantidade de Movimento e Energia.

1. INTRODUÇÃO E GENERALIDADES

Antes de qualquer coisa, é necessário que se diga de uma vez por todas que, na língua portuguesa, as vogais **i** e **u** não recebem acento quando constituírem sílaba tônica seguida de **nh**, **i** ou **u**, como é o caso do substantivo *fluido*, cujos fundamentos de sua mecânica nos propomos a estudar nesta apostila. *Fluido* é o particípio passado do verbo *fluir*, e seria o objeto de nosso presente estudo, caso falássemos castelhano e nossa apostila se chamasse *Elementos de Mecânica de los Fluidos*.

A finalidade principal da hidrodinâmica é o estabelecimento das leis que regem o movimento dos fluidos. A condição física de um fluido é totalmente determinada se forem conhecidas as componentes u , v e w da velocidade (relativas aos eixos cartesianos x , y e z , respectivamente), assim como os valores da densidade ρ e da pressão p , para qualquer tempo t e todos os pontos ocupados pelo fluido. Há, portanto, cinco incógnitas (u , v , w , p e ρ) e quatro variáveis independentes (x , y , z e t) no problema relativo ao escoamento dos fluidos. As cinco equações necessárias para que haja possibilidade de resolução do sistema são:

① *Uma equação de conservação de massa*. Uma expressão que se baseie na continuidade espacial e temporal da matéria.

② *Três equações gerais do movimento*. Relações de causa-efeito que expressem as leis que regem o movimento nas direções dos três eixos ortogonais cartesianos. Frequentemente, são utilizadas as equações resultantes da projeção de *d'Alambert*¹.

③ *Uma equação complementar*. Uma equação que traduza a dependência entre duas ou mais variáveis dependentes, levando em conta a natureza do fluido. Também é chamada de *equação de estado*.

Há dois métodos de abordagem do problema:

① *O método de Lagrange*.² Consiste no acompanhamento das partículas individuais em seu movimento ao longo de suas trajetórias. Segundo este critério, resolve-se o seguinte problema:

"Conhecida a posição (x_1, y_1, z_1) , a pressão p_1 e a densidade ρ_1 de uma partícula líquida, no instante t_1 , determinar sua pressão p , sua densidade ρ e sua posição (x, y, z) no instante t ."

PIMENTA, C. F. (1977).

② *O método de Euler*.³ Estuda as grandezas físicas do fluido no decorrer do tempo, em um determinado *volume de controle*, fixo no espaço. No método de Euler, o problema é enunciado da seguinte forma:

¹ Jean le Rond d'Alambert (1717-1783). Matemático e enciclopedista francês. Foi quem esclareceu o conceito de limite. Publicou *Traité de Dynamique* em 1743, onde consta seu princípio de projeção, deduzido a partir da terceira lei de Newton. Trata-se de um método geral de redução dos problemas dinâmicos a problemas estáticos, por meio da superposição de forças adicionais correspondentes às acelerações.

²J. L. Lagrange (1736-1813). Matemático naturalizado francês, nascido em Turim (Itália). Um dos fundadores da *École Polytechnique*, onde trabalhou em Teoria dos Números e na solução sistemática de equações diferenciais. Seu maior trabalho foi *Mécanique Analytique*.

ELEMENTOS DE MECÂNICA DOS FLUIDOS

"Conhecida a velocidade (u_1, v_1, w_1), a pressão p_1 e a massa específica ρ_1 no instante t_1 , em um dado ponto (x,y,z) , determinar a pressão p , a densidade ρ e a velocidade (u,v,w) nesse mesmo ponto, no tempo t ."

PIMENTA, C. F. (1977)

Sempre que possível, adota-se o método de Euler, por sua comodidade e simplicidade.

2. CONCEITOS BÁSICOS

2.1. Regimes Laminar e Turbulento

Em experiências independentes e simultâneas, efetuadas por Hagen e por Poiseuille em 1839 sobre o movimento dos líquidos em tubos de pequeno diâmetro, foi observado que a pressão diminui com o valor da velocidade de forma linear, quando a velocidade é baixa. Também observaram que essa lei de variação não é válida para altas velocidades. Notaram ainda a dependência do diâmetro do tubo e da temperatura do líquido nesse fenômeno.

Em 1883, procurando observar o comportamento do escoamento dos líquidos, Osborne Reynolds empregou um dispositivo como o esquematizado na figura 1, que consiste de um tubo transparente inserido em um recipiente com paredes de vidro. Um corante é introduzido na entrada do tubo. Ao abrir gradualmente o obturador T, observa-se a formação de um filete retilíneo. Neste tipo de movimento, definido como laminar, as partículas apresentam trajetórias bem definidas que não se cruzam. Ao abrir mais a torneira, a velocidade aumenta e o filamento se difunde no líquido, como consequência do movimento desordenado das partículas. Este regime denomina-se turbulento. Ao reverter o processo, o filamento regular se reestabelece a partir de uma certa velocidade, a qual recebe a denominação de *velocidade crítica inferior*.

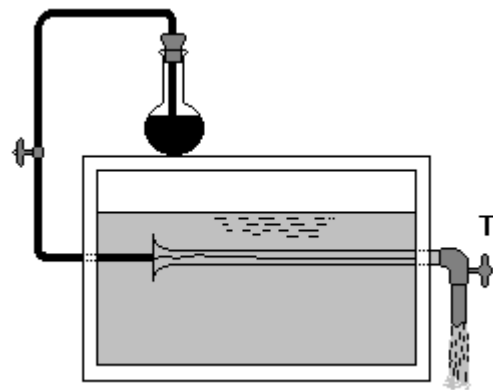


Figura 1- Dispositivo de Reynolds.

Após investigações experimentais e teóricas, Reynolds concluiu que o critério mais apropriado para se determinar o tipo de escoamento em uma canalização não se atém exclusivamente ao valor da velocidade, mas a uma expressão adimensional na qual a viscosidade do líquido também é levada em consideração. Este adimensional, que passou a ser conhecido como *Número de Reynolds*, é expresso da seguinte maneira:

$$R_e = \frac{VD}{\nu} \quad (1)$$

onde V é a velocidade, D é o diâmetro do conduto e ν é a chamada *viscosidade cinemática*. O regime laminar ocorre e é estável, nos casos práticos, para Reynolds inferior a 2000. Entre 2000 e 4000 há uma zona crítica, na qual não se pode determinar a perda de carga com muita segurança⁴.

³ Leonhard Euler (1707-1783). Matemático suíço. Discutiu Mecânica, Cálculo, Álgebra, Teoria dos Números e a maioria dos tópicos matemáticos de seu tempo. Foi aluno de Johann Bernoulli, na juventude. Morreu cego na Alemanha.

⁴ Embora já se tenha observado, em condições de laboratório, regime laminar com valores de Reynolds superiores a 40.000, o escoamento é sempre turbulento para Reynolds superior a 4.000 em tubos comerciais. Para um

Além da velocidade e da viscosidade cinemática do líquido, o número de Reynolds também leva em conta uma dimensão linear característica. No caso de tubos de seção circular, esta dimensão é o diâmetro D da tubulação, como visto na equação 1. Para seções não-circulares, toma-se esta dimensão como sendo o quádruplo do raio hidráulico⁵.

2.2. Grandezas Instantâneas e Médias

Durante o escoamento, uma determinada partícula, que se encontra em um ponto P no tempo t , é dotada de uma velocidade instantânea \vec{v} . Devido à tridimensionalidade do escoamento, essa velocidade varia tanto temporal como espacialmente, tanto em intensidade como em direção e sentido. O escoamento é dito *permanente* quando os parâmetros envolvidos são temporalmente invariantes em todo e qualquer ponto do escoamento. Um conceito importante é o da *velocidade média*, quando se pretende conceituar o *movimento permanente em média*:

$$\vec{V}_m = \frac{1}{\Delta t} \int_t^{t+\Delta t} \vec{v} dt \quad (2)$$

onde Δt é o intervalo de tempo considerado⁶. Analogamente, pode-se definir valores médios e instantâneos para as outras grandezas que intervêm no escoamento, como a pressão e a densidade. Em alguns métodos de simulação numérica de escoamentos não permanentes, utiliza-se este conceito de escoamento permanente em média, durante pequenos intervalos de tempo.

2.3. Nomenclatura Elementar

① Chama-se *campo de velocidades* ao conjunto constituído pelas velocidades instantâneas das partículas, que em determinado tempo t ocupam um volume V no espaço. A curva tangente às velocidades instantâneas de uma partícula individualizada é chamada *linha de corrente* (figura 2), cuja equação é:

$$\frac{dx}{u} = \frac{dy}{v} = \frac{dz}{w} \quad (3)$$

Se o campo de velocidades, de densidade e de pressão for temporalmente invariável, ou seja, se o movimento for permanente, as linhas de corrente coincidem com as trajetórias das partículas. No entanto, se o escoamento não for permanente, o campo de velocidades varia com o tempo provocando variação temporal das linhas de corrente, o que é de se esperar que ocorra.

② *Tubo de corrente* é uma superfície fechada que contém linhas de corrente. Quando se analisa um tubo de corrente de seção transversal infinitesimal, geralmente se refere a ele como um *filete de corrente*.

③ A *vazão* Q através da seção S de um tubo de corrente, mostrado na figura 3, é definida como:

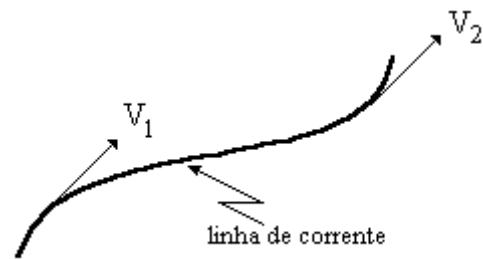


Figura 2- Definição de linha de corrente.

escoamento a uma velocidade de 0,90 m/s, a 20° C ($\nu=0,000001 \text{ m}^2/\text{s}$) em uma canalização de 50 mm de diâmetro, tem-se um valor de aproximadamente 45.000 para o número de Reynolds.

⁵ Raio hidráulico é a razão entre a seção ocupada pelo fluido, transversal à direção do escoamento, e o perímetro da fronteira desta seção com o conduto que a limita.

⁶ Em certos problemas de aerodinâmica Δt é da ordem de minutos, ao passo que na simulação de alguns escoamentos esse intervalo pode ser da ordem de centésimo de segundo.

ELEMENTOS DE MECÂNICA DOS FLUIDOS

$$Q = \int_S \vec{v} \cdot \vec{n} \, ds \quad (4)$$

onde \vec{n} é o versor normal à cada ponto da seção S , em um determinado tempo t . Portanto, a *vazão média* é:

$$Q_m = \frac{1}{\Delta t} \int_t^{t+\Delta t} Q \cdot dt = \frac{1}{\Delta t} \int_t^{t+\Delta t} \int_S \vec{v} \cdot \vec{n} \, ds = \int_S \vec{v}_m \cdot \vec{n} \, ds \quad (5)$$

Logo, a *velocidade média de uma corrente líquida* pode ser expressa por:

$$\bar{v} = \frac{Q}{S} = \frac{\int_S \vec{v}_m \cdot \vec{n} \, ds}{S} \quad (6)$$

O valor do produto da vazão pela densidade⁷ se denomina *descarga* ou *vazão mássica*.

3. EQUAÇÕES GERAIS DO ESCOAMENTO

Na dedução das equações fundamentais do escoamento de um fluido ideal, será usada a abordagem de Euler, através de um volume de controle de dimensões infinitesimais.

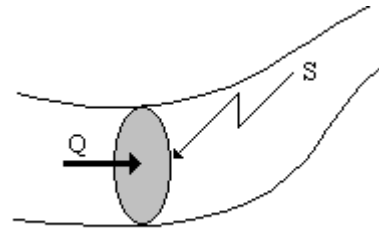


Figura 3- Tubo de corrente.

3.1. Conservação de Massa

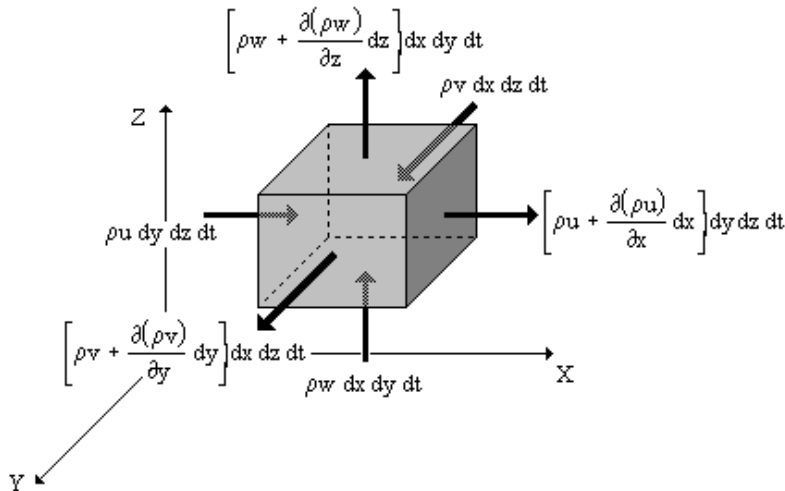


Figura 4- Volume de controle elementar.

Nas velocidades de valores práticos, a conservação da massa é um princípio óbvio e intuitivo⁸. Seja o paralelepípedo invariável e fixo no espaço (figura 4), de arestas dx , dy e dz de dimensões infinitesimais, com seu interior totalmente ocupado por um fluido de densidade transitória ρ .

Durante um intervalo infinitesimal de tempo dt , a massa específica passa de ρ para $\rho + \frac{\partial \rho}{\partial t} dt$. Portanto, a

variação de massa do volume do paralelepípedo é:

⁷ Também denominada *massa específica*.

⁸ Em *Hidráulica Relativística*, ramo da ciência que se ocupa do estudo de explosão de supernovas e do escoamento da matéria inter-galáctica, não se considera a conservação da matéria, devido à transformação de matéria em energia ($E=mc^2$) e ao aumento de massa com a velocidade segundo Einstein.

$$dm = \left[\left(\rho + \frac{\partial \rho}{\partial t} \right) - \rho \right] dx dy dz dt = \frac{\partial \rho}{\partial t} dx dy dz dt \quad (7)$$

A massa que entra no volume infinitesimal, durante o intervalo dt é:

$$m_{\text{entra}} = \rho(u dy dz + v dx dz + w dx dy) dt \quad (8)$$

E a massa que sai do volume durante o mesmo intervalo é:

$$m_{\text{sai}} = \rho(u dy dz + v dx dz + w dx dy) dt + \left[\frac{\partial(\rho u)}{\partial x} + \frac{\partial(\rho v)}{\partial y} + \frac{\partial(\rho w)}{\partial z} \right] dx dy dz dt \quad (9)$$

Portanto, o balanço de massa fornece:

$$dm = m_{\text{entra}} - m_{\text{sai}} \Rightarrow \frac{\partial \rho}{\partial t} + \frac{\partial(\rho u)}{\partial x} + \frac{\partial(\rho v)}{\partial y} + \frac{\partial(\rho w)}{\partial z} = 0 \quad (10)$$

No caso dos líquidos, considerados incompressíveis (ρ espacialmente uniforme e temporalmente constante), a equação da continuidade fica simplesmente:

$$\vec{\nabla} \cdot \vec{V} = 0 \quad (11)$$

Ou seja: *O divergente do vetor velocidade é sempre nulo para os fluidos incompressíveis.*

3.2. A Equação de Euler

As forças externas que atuam sobre um fluido em movimento podem ser classificadas em duas categorias distintas, a saber:

❶ Forças relacionadas à superfície. Forças decorrentes da pressão externa sobre as seis faces do paralelepípedo infinitesimal.

❷ Forças dependentes do volume.

① *O peso.* Ocasionado pela gravidade, no sentido vertical descendente.

② *Forças dependentes da massa.* Forças dependentes da massa do fluido, cujas componentes cartesianas por unidade de massa são designadas aqui por X, Y e Z que têm, portanto, dimensões de aceleração [LT⁻²].

As força causadas pela pressão externa nas faces do volume de controle estão esquematizadas na figura 5.

Logo, a força resultante da pressão externa é:

$$\vec{F}_p = - \left(\frac{\partial p}{\partial x}; \frac{\partial p}{\partial y}; \frac{\partial p}{\partial z} \right) dx dy dz \quad (12)$$

A resultante das forças externas dependentes da massa é:

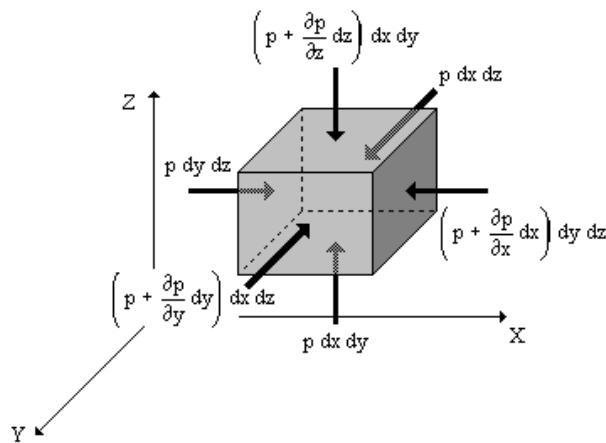


Figura 5- Forças exercidas pela pressão externa nas faces do volume de controle.

ELEMENTOS DE MECÂNICA DOS FLUIDOS

$$\vec{F}_{\text{ext}} = \rho(X; Y; Z) dx dy dz \quad (13)$$

A força peso é simplesmente:

$$\vec{F}_g = -\rho dx dy dz (0; 0; g) \quad (14)$$

onde g é a aceleração da gravidade.

Finalmente, a força devida à inércia do escoamento pode ser descrita pela seguinte expressão:

$$\vec{F}_{\text{in}} = \rho dx dy dz \left(\frac{d^2x}{dt^2}; \frac{d^2y}{dt^2}; \frac{d^2z}{dt^2} \right) \quad (15)$$

Entretanto, como $\vec{V} \cdot \vec{V} = f(x, y, z, t)$, pode-se escrever:

$$\left\{ \begin{array}{l} \frac{d^2x}{dt^2} = \frac{du}{dt} = \frac{\partial u}{\partial t} + \frac{\partial u}{\partial x} \frac{dx}{dt} + \frac{\partial u}{\partial y} \frac{dy}{dt} + \frac{\partial u}{\partial z} \frac{dz}{dt} = \frac{\partial u}{\partial t} + u \frac{\partial u}{\partial x} + v \frac{\partial u}{\partial y} + w \frac{\partial u}{\partial z} \\ \frac{d^2y}{dt^2} = \frac{dv}{dt} = \frac{\partial v}{\partial t} + \frac{\partial v}{\partial x} \frac{dx}{dt} + \frac{\partial v}{\partial y} \frac{dy}{dt} + \frac{\partial v}{\partial z} \frac{dz}{dt} = \frac{\partial v}{\partial t} + u \frac{\partial v}{\partial x} + v \frac{\partial v}{\partial y} + w \frac{\partial v}{\partial z} \\ \frac{d^2z}{dt^2} = \frac{dw}{dt} = \frac{\partial w}{\partial t} + \frac{\partial w}{\partial x} \frac{dx}{dt} + \frac{\partial w}{\partial y} \frac{dy}{dt} + \frac{\partial w}{\partial z} \frac{dz}{dt} = \frac{\partial w}{\partial t} + u \frac{\partial w}{\partial x} + v \frac{\partial w}{\partial y} + w \frac{\partial w}{\partial z} \end{array} \right. \quad (16)$$

Igualando as forças inerciais às forças externas, tem-se a equação de Euler:

$$\frac{1}{\rho} \begin{pmatrix} \frac{\partial p}{\partial x} \\ \frac{\partial p}{\partial y} \\ \frac{\partial p}{\partial z} \end{pmatrix} = \begin{pmatrix} X \\ Y \\ Z - g \end{pmatrix} - \begin{pmatrix} \frac{\partial u}{\partial x} & \frac{\partial u}{\partial y} & \frac{\partial u}{\partial z} \\ \frac{\partial v}{\partial x} & \frac{\partial v}{\partial y} & \frac{\partial v}{\partial z} \\ \frac{\partial w}{\partial x} & \frac{\partial w}{\partial y} & \frac{\partial w}{\partial z} \end{pmatrix} \begin{pmatrix} u \\ v \\ w \end{pmatrix} - \begin{pmatrix} \frac{\partial u}{\partial t} \\ \frac{\partial v}{\partial t} \\ \frac{\partial w}{\partial t} \end{pmatrix} \quad (17)$$

Ou, de forma mais compacta,

$$\frac{1}{\rho} \vec{\nabla} p = \vec{R} - \frac{D\vec{V}}{Dt} + \vec{e}_g \quad (18)$$

onde \vec{R} é o vetor da resultante das forças externas por unidade de massa e \vec{e}_g é o vetor da aceleração da gravidade.

Alguns casos particulares interessantes são:

● **Movimento permanente.** $\frac{\partial u}{\partial t} = \frac{\partial v}{\partial t} = \frac{\partial w}{\partial t} = 0$. Multiplicando a equação 17 (escrita em termos das derivadas totais), e multiplicando ambos os membros pelo vetor linha (dx dy dz), se obtém:

$$\frac{1}{\rho} \left(\frac{\partial p}{\partial x} dx + \frac{\partial p}{\partial y} dy + \frac{\partial p}{\partial z} dz \right) = X dx + Y dy + (Z - g) dz - \left(\frac{du}{dt} dx + \frac{dv}{dt} dy + \frac{dw}{dt} dz \right) \quad (19)$$

ou seja:

$$\frac{1}{\rho} dp = X dx + Y dy + (Z - g) dz - (u du + v dv + w dw) \quad (20)$$

ou ainda;

$$\frac{1}{\rho} dp = X dx + Y dy + (Z - g) dz - d \left(\frac{\vec{V}^2}{2} \right) \quad (21)$$

A expressão 21 é a equação de Euler para escoamento permanente.

② **Fluido em repouso.** Para $V=0$, a equação 21 fica:

$$\frac{1}{\rho} dp = Xdx + Ydy + (Z - g)dz \quad (22)$$

que nada mais é que a equação fundamental da hidrostática.

③ Uma decorrência da aplicação da equação de Euler a líquidos pesados, em regime permanente e sujeitos à ação da gravidade, cujas condições são $X=Y=Z=0$, é:

$$\frac{1}{\rho g} dp + dz + d\left(\frac{V^2}{2g}\right) = 0 \Rightarrow \frac{p}{\rho g} + z + \frac{V^2}{2g} = \text{constante} \quad (23)$$

que é o teorema de Bernoulli, que será visto adiante.

3.3. A Equação Complementar

Essa equação extra é obtida, considerando-se uma característica particular do fluido, como, por exemplo, as seguintes:

- ① *Fluidos homogêneos e incompressíveis.* $\rho = \text{constante}$.
- ② *Gases perfeitos.* $p=gRT\rho$, onde R é a constante universal dos gases perfeitos e T é a temperatura. No entanto uma nova incógnita (a temperatura) é introduzida aqui. Pode-se admitir que a temperatura seja constante, em alguns casos.

4. CINEMÁTICA DOS FLUIDOS

Independente da análise das causas e efeitos do movimento dos fluidos, deve-se compreender seu comportamento cinemático.

Sejam os pontos P_1 e P_2 , dotados de velocidades V_1 e V_2 , respectivamente, como mostrados na figura 6.

A continuidade do meio permite escrever:

$$\begin{cases} u_2 = u_1 + \frac{\partial u}{\partial x} \Delta x + \frac{\partial u}{\partial y} \Delta y + \frac{\partial u}{\partial z} \Delta z \\ v_2 = v_1 + \frac{\partial v}{\partial x} \Delta x + \frac{\partial v}{\partial y} \Delta y + \frac{\partial v}{\partial z} \Delta z \\ w_2 = w_1 + \frac{\partial w}{\partial x} \Delta x + \frac{\partial w}{\partial y} \Delta y + \frac{\partial w}{\partial z} \Delta z \end{cases} \quad (24)$$

Rearranjando as expressões acima, se obtém:

$$u_2 = u_1 + \underbrace{\frac{1}{2} \left[\left(\frac{\partial u}{\partial z} - \frac{\partial w}{\partial x} \right) \Delta z - \left(\frac{\partial v}{\partial x} - \frac{\partial u}{\partial y} \right) \Delta y \right]}_{u_r} + \underbrace{\left\{ \frac{\partial u}{\partial x} \Delta x + \frac{1}{2} \left[\left(\frac{\partial v}{\partial x} + \frac{\partial u}{\partial y} \right) \Delta y + \left(\frac{\partial u}{\partial z} + \frac{\partial w}{\partial x} \right) \Delta z \right] \right\}}_{u_d} \quad (25)$$

$$v_2 = v_1 + \underbrace{\frac{1}{2} \left[\left(\frac{\partial v}{\partial x} - \frac{\partial u}{\partial y} \right) \Delta x - \left(\frac{\partial w}{\partial y} - \frac{\partial v}{\partial z} \right) \Delta z \right]}_{v_r} + \underbrace{\left\{ \frac{\partial v}{\partial y} \Delta y + \frac{1}{2} \left[\left(\frac{\partial v}{\partial x} + \frac{\partial u}{\partial y} \right) \Delta x + \left(\frac{\partial w}{\partial y} + \frac{\partial v}{\partial z} \right) \Delta z \right] \right\}}_{v_d} \quad (26)$$

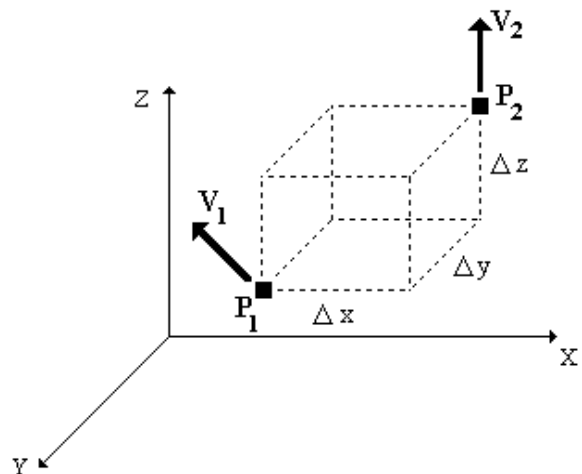


Figura 6- Movimento relativo entre dois pontos próximos, de uma mesma partícula.

ELEMENTOS DE MECÂNICA DOS FLUIDOS

$$w_2 = w_1 + \underbrace{\frac{1}{2} \left[\left(\frac{\partial w}{\partial y} - \frac{\partial v}{\partial z} \right) \Delta y - \left(\frac{\partial u}{\partial z} - \frac{\partial w}{\partial x} \right) \Delta x \right]}_{w_r} + \underbrace{\left\{ \frac{\partial w}{\partial z} \Delta z + \frac{1}{2} \left[\left(\frac{\partial u}{\partial z} + \frac{\partial w}{\partial x} \right) \Delta x + \left(\frac{\partial w}{\partial y} + \frac{\partial v}{\partial z} \right) \Delta y \right] \right\}}_{w_d} \quad (27)$$

Ou seja:

$$\vec{V}_2 = \vec{V}_1 + \vec{V}_r + \vec{V}_d \quad (28)$$

Portanto, pode-se considerar que o movimento do ponto P_2 , situado no interior da partícula, é resultante da composição de três movimentos.

❶ *Translação.* Neste caso, se a velocidade (tanto em intensidade como em direção e sentido) em P_2 é a mesma de P_1 , a partícula sofre uma translação, sem movimento relativo entre os dois pontos.

❷ *Rotação.* Pode-se observar que:

$$\vec{V}_r = \vec{\Omega} \wedge (\mathbf{P}_2 - \mathbf{P}_1) = (\vec{V} \wedge \vec{V}) \wedge (\mathbf{P}_2 - \mathbf{P}_1) = \frac{1}{2} \left(\vec{\text{rot.}} \vec{V} \right) \wedge (\mathbf{P}_2 - \mathbf{P}_1) \quad (29)$$

o que representa uma rotação. Ao vetor $\vec{\Omega}$, dá-se a denominação *vetor turbilhão*, cujas componentes dependem exclusivamente da velocidade em P_1 . Nota-se que o vetor turbilhão, que passa por P_1 , tem dimensão de frequência $[T^{-1}]$.

Cabe aqui, introduzir o conceito de *escoamento a potencial de velocidades*. Se $u \cdot dx + v \cdot dy + w \cdot dz$ for uma diferencial exata, existe uma função⁹ $\varphi(x,y,z)$ tal que:

$$\mathbf{u} = \frac{\partial \varphi}{\partial x}; \quad \mathbf{v} = \frac{\partial \varphi}{\partial y}; \quad \mathbf{w} = \frac{\partial \varphi}{\partial z} \quad (30)$$

Portanto, o vetor turbilhão, neste caso, fica:

$$\vec{\Omega} = \frac{1}{2} \begin{vmatrix} \vec{i} & \vec{j} & \vec{k} \\ \frac{\partial}{\partial x} & \frac{\partial}{\partial y} & \frac{\partial}{\partial z} \\ \frac{\partial \varphi}{\partial x} & \frac{\partial \varphi}{\partial y} & \frac{\partial \varphi}{\partial z} \end{vmatrix} = 0\vec{i} + 0\vec{j} + 0\vec{k} \quad (31)$$

o que significa que o movimento é *irrotacional*, e a equação 10 (da continuidade) fica:

$$\frac{\partial \rho}{\partial t} + (\vec{V} \rho) (\vec{V} \varphi) + \rho (\nabla^2 \varphi) = 0 \quad (32)$$

Logo, no caso de fluidos incompressíveis ($\frac{\partial \rho}{\partial t} = 0$) e homogêneos ($\vec{V} \rho = 0$), escoando a potencial de velocidades, a equação de Laplace¹⁰ ($\nabla^2 \varphi = 0$) é satisfeita.

❸ *Deformação.* Neste caso, a distância infinitesimal ΔS , entre P_1 e P_2 tem componentes Δx , Δy e Δz , cujos valores são:

⁹ A função $\varphi(x,y,z)$ é chamada *função potencial*.

¹⁰ Marquês de Laplace (1749-1827). Matemático e astrônomo francês. Mostrou que as órbitas planetárias, como calculadas por Newton, são dinamicamente estáveis e desenvolveu toda uma teoria sobre a ação das marés. Também formulou a chamada *Hipótese da Nebulosa*, segundo a qual o sistema solar se condensou a partir de uma nuvem de gás e publicou trabalhos importantes sobre a *Teoria das Probabilidades*.

$$\begin{cases} \Delta x = u_d \cdot dt \\ \Delta y = v_d \cdot dt \\ \Delta z = w_d \cdot dt \end{cases} \Rightarrow \frac{\Delta x}{u_d} = \frac{\Delta y}{v_d} = \frac{\Delta z}{w_d} \Rightarrow \frac{\partial(\Delta S)}{\partial t} = \sqrt{u_d^2 + v_d^2 + w_d^2} \quad (33)$$

Considere-se a expressão seguinte:

$$\varphi(x, y, z) = (\Delta S)^T \left(\frac{\partial \bar{V}}{\partial(x, y, z)} \right) (\Delta S) = (\Delta x \quad \Delta y \quad \Delta z) \begin{pmatrix} \frac{\partial u}{\partial x} & \frac{\partial u}{\partial y} & \frac{\partial u}{\partial z} \\ \frac{\partial v}{\partial x} & \frac{\partial v}{\partial y} & \frac{\partial v}{\partial z} \\ \frac{\partial w}{\partial x} & \frac{\partial w}{\partial y} & \frac{\partial w}{\partial z} \end{pmatrix} \begin{pmatrix} \Delta x \\ \Delta y \\ \Delta z \end{pmatrix} \quad (34)$$

Pode-se verificar que:

$$\frac{\partial \varphi}{\partial(\Delta x)} = u_d; \quad \frac{\partial \varphi}{\partial(\Delta y)} = v_d; \quad \frac{\partial \varphi}{\partial(\Delta z)} = w_d \quad (35)$$

Por ser um escoamento a potencial de velocidades, o movimento é irrotacional. No entanto, a velocidade relativa entre os dois pontos não é necessariamente nula, o que produz uma deformação na partícula em torno do ponto P_1 .

5. FORMULAÇÕES DECORRENTES DA EQUAÇÃO DE EULER

Há duas equações importantes, que surgem como conseqüência da equação de Euler: a *Equação de Lagrange*, e a de *Bernoulli*, sendo que a forma geral desta última já foi apresentada aqui.

5.1. A Equação de Lagrange

Seja um escoamento a potencial de forças $\psi(x, y, z)$, tal que

$$\begin{pmatrix} X \\ Y \\ Z \end{pmatrix} = - \begin{pmatrix} \frac{\partial \psi}{\partial x} \\ \frac{\partial \psi}{\partial y} \\ \frac{\partial \psi}{\partial z} \end{pmatrix} \quad (36)$$

onde X, Y e Z são as forças externas (por unidade de massa) da equação 17, e seja o potencial de velocidades $\varphi(x, y, z)$, como foi definido na equação 30. Então, a equação de Euler fica:

$$\frac{1}{\rho} \begin{pmatrix} \frac{\partial p}{\partial x} \\ \frac{\partial p}{\partial y} \\ \frac{\partial p}{\partial z} \end{pmatrix} + \begin{pmatrix} \frac{\partial \psi}{\partial x} \\ \frac{\partial \psi}{\partial y} \\ \frac{\partial \psi}{\partial z} - g \end{pmatrix} + \begin{pmatrix} \frac{\partial^2 \varphi}{\partial x^2} & \frac{\partial^2 \varphi}{\partial y^2} & \frac{\partial^2 \varphi}{\partial z^2} \\ \frac{\partial^2 \varphi}{\partial x^2} & \frac{\partial^2 \varphi}{\partial y^2} & \frac{\partial^2 \varphi}{\partial z^2} \\ \frac{\partial^2 \varphi}{\partial x^2} & \frac{\partial^2 \varphi}{\partial y^2} & \frac{\partial^2 \varphi}{\partial z^2} \end{pmatrix} \begin{pmatrix} \frac{\partial \varphi}{\partial x} \\ \frac{\partial \varphi}{\partial y} \\ \frac{\partial \varphi}{\partial z} \end{pmatrix} + \begin{pmatrix} \frac{\partial^2 \varphi}{\partial x \partial t} \\ \frac{\partial^2 \varphi}{\partial y \partial t} \\ \frac{\partial^2 \varphi}{\partial z \partial t} \end{pmatrix} = \begin{pmatrix} 0 \\ 0 \\ 0 \end{pmatrix} \quad (37)$$

Mas, pode-se facilmente perceber que:

$$\begin{pmatrix} \frac{\partial^2 \varphi}{\partial x^2} & \frac{\partial^2 \varphi}{\partial y^2} & \frac{\partial^2 \varphi}{\partial z^2} \\ \frac{\partial^2 \varphi}{\partial x^2} & \frac{\partial^2 \varphi}{\partial y^2} & \frac{\partial^2 \varphi}{\partial z^2} \\ \frac{\partial^2 \varphi}{\partial x^2} & \frac{\partial^2 \varphi}{\partial y^2} & \frac{\partial^2 \varphi}{\partial z^2} \end{pmatrix} \begin{pmatrix} \frac{\partial \varphi}{\partial x} \\ \frac{\partial \varphi}{\partial y} \\ \frac{\partial \varphi}{\partial z} \end{pmatrix} = \frac{1}{2} \begin{pmatrix} \frac{\partial \left[\left(\frac{\partial \varphi}{\partial x} \right)^2 + \left(\frac{\partial \varphi}{\partial y} \right)^2 + \left(\frac{\partial \varphi}{\partial z} \right)^2 \right]}{\partial x} \\ \frac{\partial \left[\left(\frac{\partial \varphi}{\partial x} \right)^2 + \left(\frac{\partial \varphi}{\partial y} \right)^2 + \left(\frac{\partial \varphi}{\partial z} \right)^2 \right]}{\partial y} \\ \frac{\partial \left[\left(\frac{\partial \varphi}{\partial x} \right)^2 + \left(\frac{\partial \varphi}{\partial y} \right)^2 + \left(\frac{\partial \varphi}{\partial z} \right)^2 \right]}{\partial z} \end{pmatrix} = \frac{1}{2} \begin{pmatrix} \frac{\partial (V)^2}{\partial x} \\ \frac{\partial (V)^2}{\partial y} \\ \frac{\partial (V)^2}{\partial z} \end{pmatrix} \quad (38)$$

Então, a equação 37 se reduz a:

$$\frac{1}{\rho} \begin{pmatrix} \frac{\partial p}{\partial x} \\ \frac{\partial p}{\partial y} \\ \frac{\partial p}{\partial z} \end{pmatrix} + \begin{pmatrix} \frac{\partial \psi}{\partial x} \\ \frac{\partial \psi}{\partial y} \\ \frac{\partial \psi}{\partial z} - g \end{pmatrix} + \frac{1}{2} \begin{pmatrix} \frac{\partial (V)^2}{\partial x} \\ \frac{\partial (V)^2}{\partial y} \\ \frac{\partial (V)^2}{\partial z} \end{pmatrix} + \begin{pmatrix} \frac{\partial^2 \varphi}{\partial x \partial t} \\ \frac{\partial^2 \varphi}{\partial y \partial t} \\ \frac{\partial^2 \varphi}{\partial z \partial t} \end{pmatrix} = \begin{pmatrix} 0 \\ 0 \\ 0 \end{pmatrix} \quad (39)$$

Sob a suposição de que a densidade ρ é apenas função da pressão p , ou seja:

$$\frac{1}{\rho} \frac{\partial p}{\partial x} = \frac{\partial \left(\int \frac{dp}{\rho} \right)}{\partial x}; \quad \frac{1}{\rho} \frac{\partial p}{\partial y} = \frac{\partial \left(\int \frac{dp}{\rho} \right)}{\partial y}; \quad \frac{1}{\rho} \frac{\partial p}{\partial z} = \frac{\partial \left(\int \frac{dp}{\rho} \right)}{\partial z} \quad (40)$$

é permitido que se escreva:

$$\frac{\partial \left(\int \frac{dp}{\rho} + \psi + \frac{V^2}{2} + \frac{\partial \varphi}{\partial t} \right)}{\partial x} = \frac{\partial \left(\int \frac{dp}{\rho} + \psi + \frac{V^2}{2} + \frac{\partial \varphi}{\partial t} \right)}{\partial y} = \frac{\partial \left(\int \frac{dp}{\rho} + \psi + \frac{V^2}{2} + \frac{\partial \varphi}{\partial t} \right)}{\partial z} = 0 \quad (41)$$

Portanto, a expressão $\int \frac{dp}{\rho} + \psi + \frac{V^2}{2} + \frac{\partial \varphi}{\partial t}$ independe do ponto (x,y,z) considerado, sendo dependência exclusiva do tempo t . Finalmente, se o movimento for permanente, conclui-se que:

$$\int \frac{dp}{\rho} + \psi + \frac{V^2}{2} = \text{Constante (espacial e temporalmente)}. \quad (42)$$

A expressão acima demonstra que a integração pode ser feita entre dois pontos quaisquer (não necessariamente pertencentes à mesma trajetória), se as forças e as velocidades forem oriundas de um potencial.

5.2. A Equação de Bernoulli

A equação 23, de Bernoulli, também pode ser deduzida a partir do conceito de potencial de força. Observando que $dx=u.dt$, $dy=v.dt$ e $dz=w.dt$ e pré-multiplicando a equação 17 pelo vetor linha $(dx \ dy \ dz)$, obtém-se:

$$(dx \ dy \ dz) \left\{ \frac{1}{\rho} \begin{pmatrix} \frac{\partial p}{\partial x} \\ \frac{\partial p}{\partial y} \\ \frac{\partial p}{\partial z} \end{pmatrix} - \begin{pmatrix} X \\ Y \\ Z-g \end{pmatrix} \right\} + dt(u \ v \ w) \left\{ \begin{pmatrix} \frac{\partial u}{\partial x} & \frac{\partial u}{\partial y} & \frac{\partial u}{\partial z} \\ \frac{\partial v}{\partial x} & \frac{\partial v}{\partial y} & \frac{\partial v}{\partial z} \\ \frac{\partial w}{\partial x} & \frac{\partial w}{\partial y} & \frac{\partial w}{\partial z} \end{pmatrix} \begin{pmatrix} u \\ v \\ w \end{pmatrix} + \begin{pmatrix} \frac{\partial u}{\partial t} \\ \frac{\partial v}{\partial t} \\ \frac{\partial w}{\partial t} \end{pmatrix} \right\} = 0 \quad (43)$$

ou seja:

$$\frac{1}{\rho} \left(\frac{\partial p}{\partial x} dx + \frac{\partial p}{\partial y} dy + \frac{\partial p}{\partial z} dz \right) - X \cdot dx - Y \cdot dy - (Z-g) dz + \left(u \frac{du}{dt} + v \frac{dv}{dt} + w \frac{dw}{dt} \right) dt = 0 \quad (44)$$

Notando que

$$\frac{\partial p}{\partial x} dx + \frac{\partial p}{\partial y} dy + \frac{\partial p}{\partial z} dz = dp - \frac{\partial p}{\partial t} dt \quad (45)$$

e que, do conceito de velocidade média local (resultante no filete),

$$\left(u \frac{du}{dt} + v \frac{dv}{dt} + w \frac{dw}{dt} \right) dt = V \cdot dV \quad (46)$$

A equação 44 fica:

$$\frac{1}{\rho} \left(dp - \frac{\partial p}{\partial t} dt \right) - X \cdot dx - Y \cdot dy - (Z-g) dz + V \cdot dV = 0 \quad (47)$$

Porém, essa equação não é integrável em qualquer ponto do escoamento, pois dx , dy e dz não são independentes como na equação de Lagrange. Se houver uma função potencial de forças $\psi(x,y,z)$, pode-se escrever:

$$X = -\frac{\partial \psi}{\partial x}; \quad Y = -\frac{\partial \psi}{\partial y}; \quad Z-g = -\frac{\partial \psi}{\partial z} \Rightarrow d\psi = -X \cdot dx - Y \cdot dy - (Z-g) dz \quad (48)$$

Logo;

$$\frac{1}{\rho} \left(dp - \frac{\partial p}{\partial t} dt \right) + d\psi + V \cdot dV = 0 \quad (49)$$

que, no caso de escoamento permanente, se reduz a:

$$\frac{dp}{\rho} + d\psi + V \cdot dV = 0 \Rightarrow \int_{p_0}^p \frac{dp}{\rho} + (\psi - \psi_0) + \frac{1}{2} (V^2 - V_0^2) = 0 \quad (50)$$

Esta equação é de importância crucial no estudo dos escoamentos e foi estabelecida por Bernoulli¹¹, passando a ser conhecida por *Equação de Bernoulli*. Nunca se deve esquecer que esta equação só é aplicável ao longo de uma trajetória, e não a todos os pontos do escoamento. Sua maior aplicação se verifica para fluidos incompressíveis, quando $X=Y=Z=0$, ou seja, quando a única força externa à qual o escoamento está submetido é o peso da massa líquida. Neste caso, $\psi=gz$, o que implica que:

$$\int_{p_0}^p \frac{dp}{\rho} + \int_{z_0}^z g \cdot dz + \int_{V_0}^V V \cdot dV = \frac{p-p_0}{\rho} + g(z-z_0) + \frac{V^2 - V_0^2}{2} = 0 \Rightarrow z + \frac{p}{\rho g} + \frac{V^2}{2g} = \text{Constante}. \quad (51)$$

¹¹ Daniel Bernoulli. Hidráulico suíço, filho do matemático Johann Bernoulli (1676-1748) que resolveu o problema da *braquistócrona*, e sobrinho do famoso matemático Jakob Bernoulli (1654-1705) que introduziu o termo *integral* no Cálculo. Daniel publicou seu teorema pela primeira vez em 1738, em seu livro *Hydrodynamica*.

6. CONDIÇÕES INICIAIS E DE CONTORNO

As cinco equações que compõem o sistema hidrodinâmico podem ou não ser passíveis de serem resolvidas¹². Em todo caso, se houver solução (tanto analítica quanto numérica) factível, estas conterão constantes de integração, originárias das condições iniciais e de contorno (em um sentido lato, ambas costumam ser chamadas *condições de fronteira*). Nos problemas práticos relativos à Hidráulica, envolvendo líquidos ideais, as condições de contorno são normalmente definidas pelas superfícies livres e/ou pelas paredes sólidas que limitam espacialmente o escoamento.

① *Limites sólidos*. A figura 7 mostra uma parede fixa que confina o espaço ocupado pelo líquido em escoamento. Seja $F(x,y,z)$, a equação dessa parede, e $\vec{V} = (\vec{u}, \vec{v}, \vec{w})$ a velocidade do líquido no ponto P. O versor

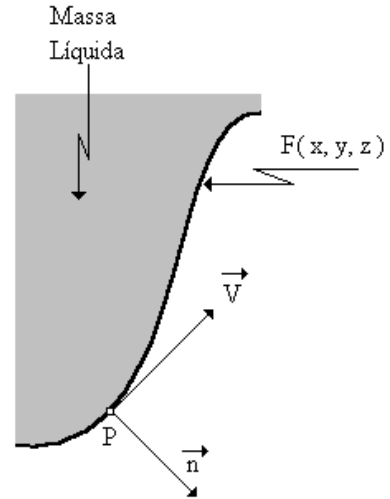


Figura 7- Escoamento e parede confinante.

\vec{n} , normal à superfície da parede no ponto P é $\vec{n} = \alpha \left(\frac{\partial F}{\partial x}, \frac{\partial F}{\partial y}, \frac{\partial F}{\partial z} \right)$, onde α é um fator de escala, cuja função é tornar unitário o módulo do vetor. O confinamento imposto pela parede impõe que a componente da velocidade na direção normal a ela seja nula, ou seja:

$$\vec{V} \cdot \vec{n} = 0 \Rightarrow u \frac{\partial F}{\partial x} + v \frac{\partial F}{\partial y} + w \frac{\partial F}{\partial z} = 0 \tag{52}$$

② *Superfícies livres*. A condição de contorno, nesse caso, é simplesmente a imposição de que a pressão na superfície seja constante. Essa imposição tem como consequência o fato (análogo ao caso anterior) de que $u \frac{\partial p}{\partial x} + v \frac{\partial p}{\partial y} + w \frac{\partial p}{\partial z} = 0$, o que é fácil de ser verificado.

7. DISTRIBUIÇÃO DAS PRESSÕES

Por ser uma igualdade vetorial, a expressão $m\vec{A} = \sum \vec{F}$ é válida ao ser projetada em qualquer direção; por exemplo, nos eixos coordenados intrínsecos ligados à trajetória de uma partícula P, como ilustra a figura 8, na qual a tangente t à trajetória é orientada segundo a *regra da mão direita*, n é a normal ao plano osculador e b se encontra no eixo binormal. Na figura, C é o centro do raio de curvatura R instantâneo da trajetória.

As equações de Euler, então ficam:

① *Eixo tangente à trajetória (x)*. Fica praticamente inalterada:

$$\frac{1}{\rho} \frac{\partial p}{\partial x} = X - \frac{dV}{dt} \tag{53}$$

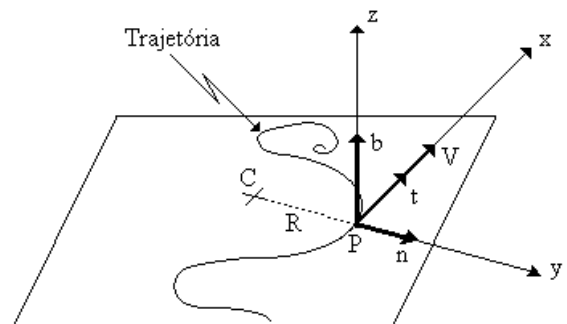


Figura 8- Orientação intrínseca de uma trajetória.

¹² Há também casos nos quais o sistema dinâmico permite a existência de múltiplas soluções.

② *Eixo normal à trajetória (y)*. O termo da aceleração é simplesmente substituído pela aceleração centrípeta¹³:

$$\frac{1}{\rho} \frac{\partial p}{\partial y} = Y + \frac{V^2}{R} \quad (54)$$

③ *Eixo ortogonal ao plano instantâneo da trajetória, ou eixo binormal (z)*. Como não há projeção das acelerações da velocidade no eixo z, exceto a gravitacional, a equação fica, simplesmente:

$$\frac{1}{\rho} \frac{\partial p}{\partial z} = Z - g \quad (55)$$

A partir dessas equações, pode-se tirar as seguintes conclusões relativas à distribuição das pressões nos escoamentos, conclusões essas conhecidas como regras de Bresse:

❶ A variação vertical das pressões obedece a lei hidrostática, em escoamentos cujas trajetórias são confinadas a planos horizontais, pois

$$\frac{1}{\rho} \frac{\partial p}{\partial z} = -g \Rightarrow \int_{p_{p_0}}^p dp = -g \int_{z_0}^z dz \Rightarrow p - p_0 = \rho g(z_0 - z) \quad (56)$$

❷ As pressões se distribuem segundo a lei hidrostática nos escoamentos retilíneos e uniformes, devido ao fato de que as acelerações são nulas, resultando em

$$\rho \begin{pmatrix} X \\ Y \\ Z - g \end{pmatrix} = \begin{pmatrix} \frac{\partial p}{\partial x} \\ \frac{\partial p}{\partial y} \\ \frac{\partial p}{\partial z} \end{pmatrix} \Rightarrow \rho \frac{\vec{F}}{m} = \vec{\nabla} p \quad (57)$$

que são condições de equilíbrio hidrostático.

❸ Se o escoamento de um líquido ideal causar, nas partículas, movimentos idênticos aos que estas teriam se estivessem sob a ação exclusiva das forças externas, a pressão será constante em toda a massa líquida, em um instante qualquer, porque

$$\begin{pmatrix} X \\ Y \\ Z - g \end{pmatrix} = \begin{pmatrix} \frac{du}{dx} \\ \frac{dv}{dy} \\ \frac{dw}{dz} \end{pmatrix} \Rightarrow \frac{1}{\rho} \begin{pmatrix} \frac{\partial p}{\partial x} \\ \frac{\partial p}{\partial y} \\ \frac{\partial p}{\partial z} \end{pmatrix} = \begin{pmatrix} 0 \\ 0 \\ 0 \end{pmatrix} \Rightarrow p(x, y, z) = \text{Constante.} \quad (58)$$

❹ Se o escoamento de um líquido natural for dotado de movimentos lentos, a distribuição das pressões é praticamente hidrostática, pois $V \approx 0$, o que faz com que as forças inerciais possam ser desprezadas, recaindo no caso ❷.

❺ A distribuição das pressões em uma seção transversal ao escoamento seguirá a lei hidrostática, se as trajetórias das partículas atravessarem normalmente essa seção, e se as

¹³ O termo da aceleração fica em sentido contrário, pois deve sempre ser lembrado que a aceleração *centrípeta* ocorre no sentido de *atrair* a partícula para o centro do raio de curvatura da trajetória, embora haja uma reação *centrífuga* sobre a partícula, orientada no sentido de *escapar* da trajetória.

ELEMENTOS DE MECÂNICA DOS FLUIDOS

*curvaturas*¹⁴ dessas trajetórias forem muito pequenas nas cercanias da seção, pois isso também faz que se recaia no caso 2.

8. APLICAÇÕES DA EQUAÇÃO DE BERNOULLI

O teorema de Bernoulli, que afirma que *a soma das alturas (geométrica, piezométrica e cinética) é constante ao longo de qualquer linha de corrente*, nada mais é que o princípio de conservação de energia, sendo que cada uma dessas alturas (também denominadas *cargas*) não passam de formas de energia (potencial, de pressão e cinética) por unidade de peso, o que torna a equação de Bernoulli uma ferramenta utilíssima na resolução de problemas relativos à engenharia hidráulica.

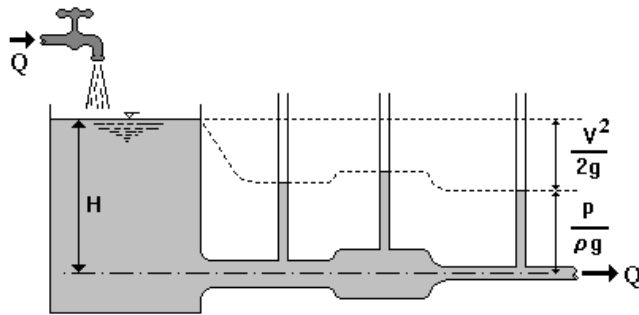


Figura 9- Conservação da energia total.

Duas experiências interessantes que ilustram este importante teorema, idealizadas e realizadas por Froude em 1875, são mostradas a seguir.

A primeira demonstração utiliza piezômetros instalados em uma tubulação lisa, horizontal e de diâmetro variável, que parte de um reservatório no qual o nível foi mantido constante, como ilustra a figura 9. Pode-se observar que a água dos piezômetros sobe mais nas seções de diâmetro maior, pois nelas a velocidade é

menor, resultando menor carga cinética e, portanto, maior carga piezométrica. A constância da carga total pode ser verificada pela equação de Bernoulli, uma vez que as seções são conhecidas. Pode-se também calcular a vazão desta forma.

No segundo experimento, são utilizados vasos providos de bocais, chamados *vasos de Froude*, em sua homenagem. Os bocais são justapostos, com a água passando de um para o outro, como está esquematizado na figura 10.a. A pressão exercida pelo líquido na seção S_2 é ρgh_2 , ao passo que se admite uma pressão igual a ρgh_1 na seção S_1 . Tomando como referência o eixo dos bocais e aplicando o teorema de Bernoulli, obtém-se:

$$H = \frac{V_1^2}{2g} + h_1 = \frac{V_2^2}{2g} + h_2 \quad (59)$$

A seção S_1 do bocal é construída de tal forma que reduz toda a carga H à energia cinética, ou seja:

$$\frac{V_1^2}{2g} = H \quad (60)$$

que é a conhecida equação cinemática de *Torricelli*¹⁵. Portanto, resulta que $h_1 = 0$, o que implica que a pressão no bocal é a atmosférica. Desta forma, pode-se separar os vasos (figura

¹⁴ Curvatura λ da função f no ponto $x=a$ é definida como o inverso do raio de curvatura, ou seja:

$$\lambda = \frac{\frac{d^2[f(a)]}{dx^2}}{\left\{1 + \left[\frac{df(a)}{dx}\right]^2\right\}^{3/2}}$$

¹⁵ Torricelli (1608-1647). Matemático italiano. Conhecido como sendo o inventor do barômetro de mercúrio. Seu teorema se aplica a bocais e orifícios nos quais $v = \sqrt{2gh}$.

10.b) que a água continuará para o outro bocal por meio de um jato, sem que haja água escapando para o exterior dos bocais.

8.1. Extensão do Teorema de Bernoulli aos Líquidos Reais

8.1.1. O coeficiente de Coriolis

Seja uma corrente líquida que atravessa perpendicularmente uma seção S , na qual o escoamento se apresenta com uma distribuição qualquer de velocidades transversais a ela, como é mostrado na figura 11.

Sendo $dQ = v \cdot dS$ a vazão que um filete elementar, dotado de velocidade média local v no ponto em que o filete atravessa a seção, a potência¹⁶ total do filete neste ponto é:

$$P = \left(z + \frac{p}{\rho g} + \frac{v^2}{2g} \right) \rho g \cdot dQ \quad (61)$$

Portanto, se o fluido for incompressível, a pressão for uniformemente distribuída em S e z for a cota do centro geométrico da seção em relação a um plano horizontal de referência, a potência total de toda a corrente líquida é:

$$P_t = \rho g \int_S \left(z + \frac{p}{\rho g} + \frac{v^2}{2g} \right) v \cdot dS \Rightarrow P_t = (p + \rho g z) Q + \rho g \int_S \frac{v^2}{2g} v \cdot dS = (p + \rho g z) Q + \frac{\rho}{2} \int_S v^3 dS \quad (62)$$

Então, a energia total por unidade de peso¹⁷ fica:

$$E = \frac{P_t}{\rho g Q} = z + \frac{p}{\rho g} + \frac{1}{2gQ} \int_S v^3 ds \quad (63)$$

Como pode ser visto na figura 11, $v_{\text{máx}} = V + \varepsilon$. Alguns escoamentos em tubos de seção circular, como será visto mais adiante, apresentam um perfil de velocidades parabólico, onde $v = (V + \varepsilon) \left(1 - \frac{r^2}{R^2} \right)$, onde V é a velocidade média na seção e R é o raio da mesma, suposta circular. Logo,

$$V = \frac{\int_S v \cdot dS}{S} = \frac{2(V + \varepsilon)}{R^2} \int_0^R \left(1 - \frac{r^2}{R^2} \right) r \cdot dr = \frac{V + \varepsilon}{2} \Rightarrow V = \varepsilon \quad (64)$$

Portanto,

$$v = 2V \left(1 - \frac{r^2}{R^2} \right) \quad (65)$$

o que conduz a:

$$\int_S v^3 dS = 16\pi V^3 \int_0^R \left(1 - \frac{r^2}{R^2} \right)^3 r \cdot dr = 2\pi R^2 V^3 = 2QV^2 \quad (66)$$

que substituída na equação 63 fornece:

¹⁶ Potência é a taxa de dissipação de energia, ou seja, a razão da energia pelo tempo.

¹⁷ Também chamada de *energia específica*.

$$E = z + \frac{p}{\rho g} + \alpha \left(\frac{V^2}{2g} \right); \quad \alpha = 2 \text{ para seções circulares.} \quad (67)$$

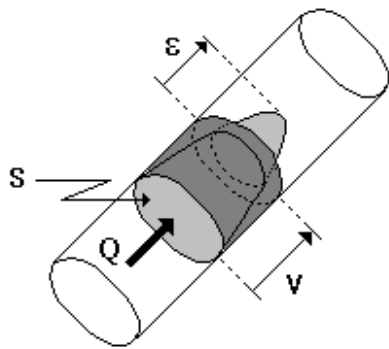


Figura 11- Distribuição de velocidades em uma seção.

O valor de α , chamado *coeficiente de Coriolis* depende, portanto, da distribuição das velocidades, entre outras coisas. Nos escoamentos turbulentos em condutos forçados, seu valor varia normalmente entre 1,05 e 1,10. Como nesses casos a velocidade média raramente ultrapassa 4 m/s, o erro cometido no cálculo da carga total, ao se adotar $\alpha=1$, quase nunca ultrapassa 8 cm. Porém, nos escoamentos à superfície livre, o valor de α é mais alto que nos escoamentos forçados, devido à distribuição mais complexa das velocidades na seção, além de ser dotado de velocidades muito mais altas. Não é raro uma velocidade média de 10 m/s e coeficiente de coriolis igual a 1,5 em canais, o que pode ocasionar um

erro de 2,50 metros no cálculo da carga total, o que é inadmissível.

Portanto, o coeficiente de Coriolis é:

$$\alpha = \frac{S^2 \int v^3 ds}{\left(\int v ds \right)^3} \quad (68)$$

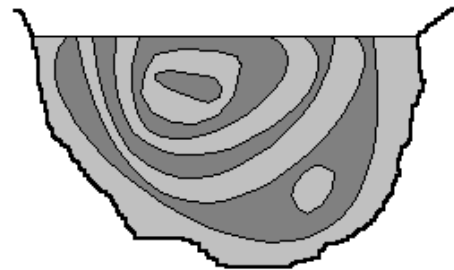


Figura 12- Isótacas de uma seção de canal.

Ao se fazer as medições de velocidades em uma determinada seção transversal de um canal, obtém-se as *isótacas*¹⁸, que delimitam as áreas hachuradas da figura 12. O coeficiente de Coriolis pode, então, ser calculado através de qualquer método de integração numérica, como o seguinte:

$$\alpha = \left(\sum_{i=1}^{n-1} \Delta S_i \right) \left\{ \sum_{i=1}^{n-1} \left[\left(\frac{v_{i+1} + v_i}{2} \right)^3 \Delta S_i \right] \right\} \left\{ \sum_{i=1}^{n-1} \left[\left(\frac{v_{i+1} + v_i}{2} \right) \Delta S_i \right] \right\}^{-3} \quad (69)$$

na qual $\left(\frac{v_{i+1} + v_i}{2} \right)$ é a velocidade média da seção ΔS_i .

8.1.2. Perda de carga

Mesmo ao se levar em conta a distribuição de velocidades e, a partir daí, adotar-se um valor criterioso do coeficiente de Coriolis, observa-se que os escoamentos reais não obedecem rigorosamente a equação de Bernoulli, devido aos efeitos da viscosidade e da turbulência, resultando em dissipação de energia em forma de calor. Nos escoamentos reais, a carga total diminui na direção do escoamento, como mostrado na figura 13.

Portanto, para escoamentos reais, a equação de Bernoulli fica:

$$z_A + \frac{p_A}{\gamma} + \alpha_A \frac{V_A^2}{2g} = z_B + \frac{p_B}{\gamma} + \alpha_B \frac{V_B^2}{2g} + \Delta h \quad (70)$$

¹⁸Isótaca = $\times\sigma\omega$ (igual) + $\tau\alpha\xi\cap$ (velocidade). São as curvas que representam as regiões de uma seção, dotadas de velocidades iguais.

O termo Δh recebe a denominação de *perda de carga*.

9. INTERCÂMBIO DE IMPULSO

Cabe aqui, esclarecer alguns aspectos terminológicos de dois conceitos importantes no entendimento do fenômeno do escoamento.

① *Impulso ou impulsão*. O impulso de uma força pontual F é o produto da mesma pelo intervalo de tempo que dura sua ação.

② *Quantidade de movimento*. A quantidade de movimento da massa m é o produto dessa massa por sua velocidade. Newton¹⁹ denominou-a *quantity of motion*, embora o termo preferido pelos autores atuais de língua inglesa seja o termo latino *momentum*. Algumas traduções mal-feitas trazem este termo inglês como “momento”, mas o que corresponde ao nosso “momento” é *moment* (Ex.: *moment of inertia*, ou seja “momento de inércia”). Alguns autores anglófonos costumam denominá-lo *linear momentum*, para diferenciá-lo de *angular momentum* (sinônimo de *moment of momentum*) que corresponde ao nosso “momento cinético”. Esta deplorável confusão entre *momentum* e *moment* criou, entre nós, a locução imprópria de “momento angular”, tradução errônea de *angular momentum*, quando o correto seria “momentum angular”, “quantidade de movimento angular”, “momento de quantidade de movimento” ou “momento de momentum”.

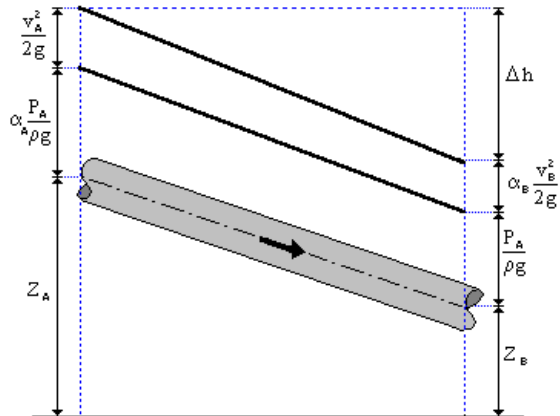


Figura 13- Representação da perda de carga.

9.1. O Teorema de Euler

Pode-se expressar o princípio fundamental da mecânica clássica, aplicado à massa pontual m , como:

"A derivada em relação ao tempo, da quantidade de movimento de uma massa m dotada de velocidade V equivale à resultante de todas as forças externas aplicadas a essa massa."

Tal lei pode ser verificada da seguinte maneira:

$$\text{impulso} = \text{quantidade de movimento} \Rightarrow \sum \vec{F}_{\text{ext}} dt = m \vec{V} \Rightarrow \sum \vec{F}_{\text{ext}} = \frac{d(m \vec{V})}{dt} \quad (71)$$

No caso em que m é constante, a expressão acima nada mais é que a lei básica de Newton que afirma que a somatória das forças é igual ao produto da massa pela aceleração. Este teorema pode ser aplicado ao filete líquido incompressível mostrado na figura 14, na qual o volume elementar dV_{ol} é transportado da posição A para B, durante o intervalo de tempo dt , em movimento permanente.

¹⁹ Isaac Newton (1642-1727). Matemático inglês cujas contribuições tanto em Matemática como em Física mudaram decisivamente a concepção e direção dessas ciências. Descobriu o método analítico que forma a base do Cálculo e formulou importantes leis sobre o estudo da Mecânica. Após três séculos, sua teoria gravitacional continua válida, embora seja hoje compreendida como um caso particular no qual a distância entre os corpos é relativamente grande e a massa de um desses corpos é comparativamente pequena, como no movimento de translação da Terra em torno do Sol.

ELEMENTOS DE MECÂNICA DOS FLUIDOS

A conservação da quantidade de movimento implica que a diferença entre a quantidade de movimento que entra pela seção dS_1 e a que sai por dS_2 é igual à variação da quantidade de movimento do volume envolto pela superfície $(1) \rightarrow (2) \rightarrow (4) \rightarrow (3) \rightarrow (1)$. Como a equação da conservação de massa fornece $dm = \rho \cdot dVol = \rho dS_A \cdot V_A dt = \rho dS_B \cdot V_B dt = \rho dQ \cdot dt$, deduz-se que:

$$d(m\vec{v}) = \rho \cdot dQ(\vec{V}_B - \vec{V}_A) dt \Rightarrow \sum \vec{F}_{ext} = \rho(\vec{V}_B - \vec{V}_A) dQ \quad (72)$$

Esta equação, conhecida como *Equação de Euler*, não leva em consideração as forças internas, uma vez que o sistema formado por elas tem resultante nula. No campo gravitacional, essas forças são: ① o peso da massa líquida $d\vec{F}_g$; ② as forças de pressão $d\vec{F}_p$ sobre as paredes laterais do filete e sobre as seções de entrada e de saída do volume; e ③ as forças de atrito $d\vec{F}_r$ sobre as paredes laterais do filete.

Portanto, a equação de Euler fica:

$$d\vec{F}_g + d\vec{F}_p + d\vec{F}_r = \int_S \rho \vec{V} \vec{V} \cdot \vec{n} \cdot ds \quad (73)$$

onde \vec{n} é o versor da direção e sentido do escoamento. Através deste teorema, é possível determinar a resultante das forças externas, conhecendo-se a distribuição de velocidades sobre a superfície fechada que envolve o líquido (independente se ideal ou real), sem se preocupar com o que ocorre em seu interior.

9.2. Aplicações do Teorema de Euler

Seja um certo volume envolto por uma superfície S fechada e fixa, através da qual um fluido se movimenta em regime permanente, como ilustra o esquema da figura 15.

A quantidade de movimento que sai pela superfície elementar ds , por unidade de tempo é:

$$\vec{v} \frac{dm}{dt} = \vec{v} \rho \cdot dQ = \vec{v} \rho (\vec{v} \cdot dS) = \rho \vec{v} \vec{v} \cdot \vec{n} dS \quad (74)$$

Então, a variação da quantidade de movimento do fluido contido em S , durante o intervalo de tempo dt , é dado por:

$$d(m\vec{v}) = dt \int_S \rho \vec{v} \vec{v} \cdot \vec{n} dS = dt \int_S \rho v_n dS \vec{v} \Rightarrow \sum \vec{F}_{ext} = \int_S \rho v_n dS \vec{v} \quad (75)$$

A equação de Euler foi apenas deduzida a partir do escoamento ao longo de um filete de seção transversal infinitesimal. Torna-se, portanto, imperativo que se defina a aplicação do teorema às correntes líquidas. Pode-se imaginar a corrente como sendo composta de filetes que não se cruzam, sendo nula a velocidade em toda a superfície lateral da corrente, como pode ser observado na figura 16. Chega-se, portanto, à seguinte expressão:

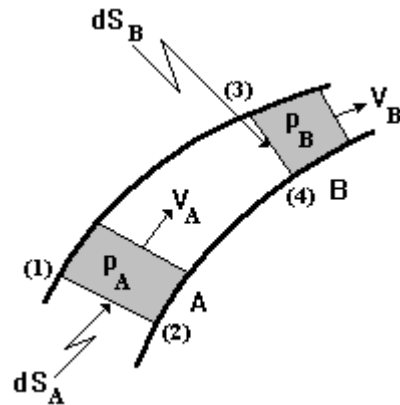


Figura 14- Transporte de quantidade de movimento de A para B.

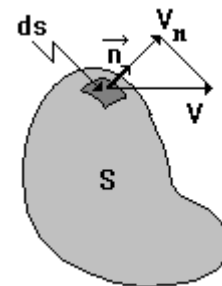


Figura 15- Líquido contido em uma superfície fechada.

$$\sum \vec{F}_{\text{ext}} = \int_{S_2} \rho v_n \vec{v} ds - \int_{S_1} \rho v_n \vec{v} ds \quad (76)$$

Se o fluido for incompressível e a seção transversal for normal à direção geral da corrente, o valor de v_n é igual ao módulo de v . Neste caso, a variação da quantidade de movimento no volume delimitado por S_1 , S_2 e as paredes laterais, fica $\rho \int_{S_1}^{S_2} v^2 ds$. Entretanto, é preferível que se utilize a velocidade média V , para efeitos de aplicação prática. Portanto,

$$\beta \rho V^2 S = \rho \int_S v^2 ds \Rightarrow \beta = \frac{\int_S v^2 ds}{V^2 S} = \frac{S \int v^2 ds}{\left(\int_S v ds \right)^2} \quad (77)$$

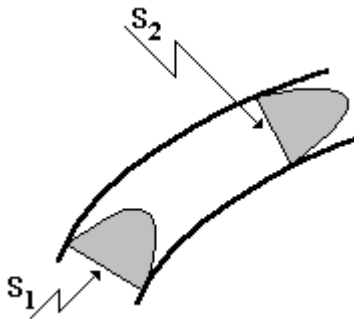


Figura 16- Distribuição de velocidades em uma corrente.

sendo que β é o coeficiente de quantidade de movimento.

É deixado como exercício, a aplicação desta relação ao perfil parabólico (equação 65), que resulta em $\beta = 4/3$. Portanto, a quantidade de movimento real é maior que a quantidade de movimento do escoamento fictício médio, resultando que a fórmula de Euler aplicada às correntes líquidas fica:

$$\sum \vec{F}_{\text{ext}} = \rho Q (\beta_2 V_2 - \beta_1 V_1) \quad (78)$$

10. ESCOAMENTO DOS FLUIDOS VISCOSOS

Até aqui, não se preocupou com o que ocorre no interior dos fluidos em movimento. Entretanto não apenas o atrito entre o fluido e as paredes dos condutos são relevantes, como também o atrito entre os filetes que compõem a corrente.

10.1. Viscosidade

Viscosidade é o atrito que se observa no interior de um fluido real em escoamento, causando uma força de arrasto entre duas camadas adjacentes. É devido a este efeito que os escoamentos de fluidos naturais se apresentam com uma distribuição não-uniforme de velocidades. Para se compreender este fenômeno, se faz uma analogia com o movimento relativo de duas placas planas separadas por uma distância infinitesimal Δn , como as da figura 17. Enquanto a placa inferior está em repouso, a superior se move horizontalmente em movimento uniforme, arrastando as partículas líquidas que estão em contato com ela, em consequência do atrito; ao passo que as partículas que estão

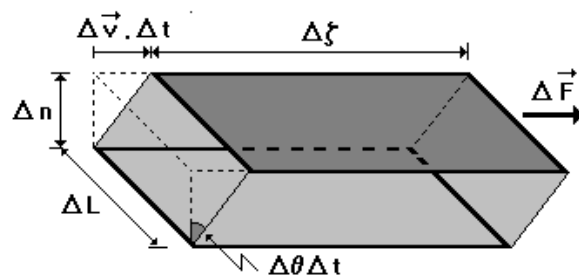


Figura 17- Exemplificação da viscosidade.

ELEMENTOS DE MECÂNICA DOS FLUIDOS

em contato com a placa inferior permanecem imóveis, pelo mesmo motivo, admitindo que o líquido se movimenta laminarmente. Tem-se observado experimentalmente, que a velocidade varia linearmente de zero até Δv . A força de resistência ao deslocamento da placa é proporcional à velocidade relativa e à área da placa, e inversamente proporcional à distância entre as placas, ou seja:

$$\Delta \vec{F} = \mu \Delta S \frac{\Delta v}{\Delta n} \Rightarrow \frac{d\vec{F}}{dS} = \mu \frac{dv}{dn} \Rightarrow \tau = \mu \frac{dv}{dn} \quad (79)$$

O coeficiente μ [$ML^{-1}T^{-1}$] é chamado *coeficiente de viscosidade absoluta*, que depende da temperatura, pressão e da natureza do líquido, e τ é a tensão de cisalhamento. Com frequência se emprega o *coeficiente de viscosidade cinemática* $\nu = \mu/\rho$ [L^2T^{-1}].

Pode-se notar que $\frac{dv}{dn}$ é uma medida da deformação do líquido, uma vez que

$$\frac{dv}{dn} = \frac{d\left(\frac{d\zeta}{dt}\right)}{dn} = \frac{d\left(\frac{d\zeta}{dn}\right)}{dt} = \frac{d(\operatorname{tg}\theta)}{dt} = \frac{1}{\cos^2\theta} \frac{d\theta}{dt} \quad (80)$$

que para pequenas deformações ($\cos^2\theta \approx 1$) se reduz a

$$\frac{dv}{dn} = \frac{d\theta}{dt} \quad (81)$$

10.2. Viscosidade dos Fluidos Reais

Os fluidos que se comportam da forma descrita são chamados de *newtonianos*. Há, porém, alguns outros que não têm comportamento similar. Os chamados fluidos *não-newtonianos* podem ser classificados em três grupos:

① Fluidos que apresentam características simultâneas de sólidos e líquidos. Um exemplo característico dos fluidos deste grupo é o piche que, quando em escoamento à temperatura ambiente, apresenta características de um fluido de grande viscosidade, porém se verifica que surge uma ruptura no piche, ao sofrer o impacto de uma batida brusca, como se fosse um sólido. O piche se enquadra no grupo dos fluidos *viscoelásticos*.

② Fluidos nos quais a relação entre a taxa de deformação e a tensão de cisalhamento depende das condições iniciais do escoamento. A *viscosidade aparente* desses fluidos não pode ser descrita analiticamente através de uma relação entre θ e τ , pois depende também da história prévia do escoamento.

③ Fluidos nos quais a taxa de deformação é apenas função da tensão de cisalhamento.

Aqui será feita apenas uma abordagem sumária dos fluidos do terceiro grupo, pois apresentam uma *viscosidade aparente*, com um significado análogo ao da viscosidade propriamente dita. Pode-se, portanto, abordar conjuntamente os fluidos newtonianos e os do terceiro grupo que, por este motivo, é chamado de grupo dos *fluidos não-newtonianos viscosos*. Já o tratamento analítico do escoamento de fluidos pertencentes aos dois primeiros grupos constitui um capítulo especial da Mecânica dos Fluidos, chamada *Reologia*²⁰.

A figura 18 mostra o comportamento da taxa de deformação com a tensão de cisalhamento, para diferentes tipos de fluidos, a saber:

²⁰Reologia = $\rho\varepsilon'\omega$ (escorrimento) + $\lambda|\gamma_0\omega$ (discurso).

① *Fluidos newtonianos*. Seu comportamento é mostrado na figura 18-a, e pode ser descrito como:

$$\tau = \mu \dot{\theta} \quad (82)$$

A água é um fluido newtoniano.

② *Plásticos de Bingham*. O escoamento (figura 18-b) de fluidos como lama, pastas dentífricas e tintas a óleo, entre outros, somente se inicia quando a tensão de cisalhamento atinge um valor mínimo chamado *tensão de escoamento* (τ_0), quando passa a ter um comportamento linear, ou seja:

$$\tau = \tau_0 + \mu_0 \dot{\theta} \quad (83)$$

equação na qual μ_0 é chamada de *viscosidade plástica*.

③ *Fluidos pseudo-plásticos*. Se comportam da maneira ilustrada na figura 18-c. São representados, principalmente, pelos derivados de celulose, soluções de polímeros elevados e suspensões de partículas assimétricas. Embora não apresentem tensão de escoamento, a relação entre a taxa de deformação e a tensão não é linear, apresentando-se da seguinte forma:

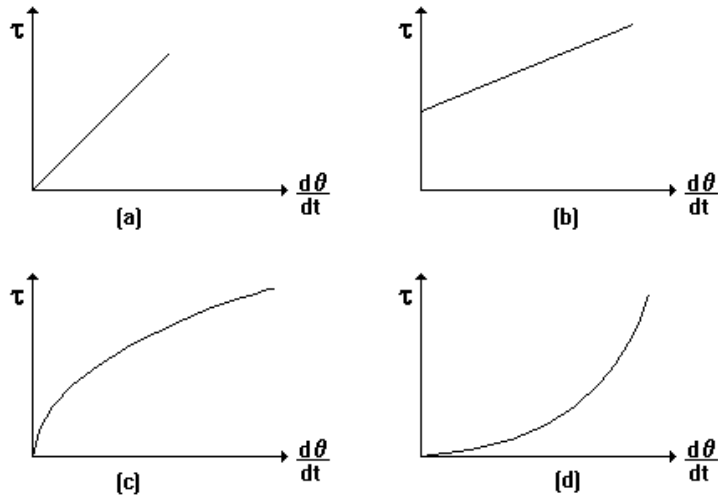


Figura 18- Comportamento viscoso de diferentes tipos de fluidos.

$$\tau = \lambda \left(\dot{\theta} \right)^n \quad (84)$$

com $n < 1$, e λ constantes que dependem da natureza do fluido. Define-se como *viscosidade aparente* μ_0 , a expressão:

$$\mu_{ap} = \frac{\tau}{\dot{\theta}} = \lambda \left(\dot{\theta} \right)^{n-1} \quad (85)$$

④ *Fluidos dilatantes* (figura 18-d). São fluidos menos comuns que os pseudoplásticos, apresentando comportamento análogo a estes, porém com $n > 1$.

O comportamento dos fluidos viscosos pode, então, ser resumido na seguinte fórmula:

$$\tau = a + b \left(\dot{\theta} \right)^n \quad (86)$$

com os valores de k e n da tabela 1.

Fluido	a	b	n
Newtoniano	0	μ	1
Plástico de Bingham	τ_0	μ_0	1
Pseudoplástico	0	λ	<1
Dilatante	0	λ	>1

Tabela 1- Parâmetros de alguns tipos de fluidos viscosos.

ELEMENTOS DE MECÂNICA DOS FLUIDOS

Levando em conta as forças viscosas, a equação de Euler (18), pode ser assim escrita:

$$\rho \left(\vec{F}_{\text{ext}} - \frac{d\vec{V}}{dt} \right) = \vec{\nabla} p + \vec{F}_{\mu} \quad (87)$$

em que \vec{F}_{μ} é o conjunto das forças de origem viscosa.

10.3. O Teorema do Tetraedro dos Esforços

Seja o tetraedro de arestas infinitesimais da figura 19, onde o plano ABC é definido pelos cossenos diretores de seu versor normal \vec{n} : $\cos \hat{n}_x$, $\cos \hat{n}_y$ e $\cos \hat{n}_z$. Sejam O a origem dos eixos coordenados e dS a área da face ABC. Logo as áreas das outras três faces são:

$$\begin{cases} \Delta OBC = dS \cos \hat{n}_x \\ \Delta OAC = dS \cos \hat{n}_y \\ \Delta OAB = dS \cos \hat{n}_z \end{cases} \quad (88)$$

Para que o tetraedro esteja em equilíbrio, é necessário que:

$$d\vec{F} = d\vec{F}_x + d\vec{F}_y + d\vec{F}_z \quad (89)$$

ou seja:

$$\vec{T} = \vec{T}_x \cos \hat{n}_x + \vec{T}_y \cos \hat{n}_y + \vec{T}_z \cos \hat{n}_z \quad (90)$$

sendo que T , T_x , T_y e T_z são as tensões específicas²¹ nas faces ABC, OBC, OAC e OAB respectivamente. Cada uma dessas tensões específicas tem uma componente segundo cada eixo do triedro cartesiano. Como o meio fluido considerado é homogêneo e isotrópico²², considerando o equilíbrio dos momentos, tem-se:

$$\vec{\tau} = \begin{pmatrix} \sigma_x & \tau_{xy} & \tau_{xz} \\ \tau_{xy} & \sigma_y & \tau_{yz} \\ \tau_{xz} & \tau_{yz} & \sigma_z \end{pmatrix} \begin{pmatrix} \cos \hat{n}_x \\ \cos \hat{n}_y \\ \cos \hat{n}_z \end{pmatrix} \quad (91)$$

em que os *sigmas* e *taus* representam as tensões normais e de cisalhamento, respectivamente. Portanto, a tensão oriunda das forças viscosas em um elemento de fluido pode ser representada da forma acima.

11. TENSÕES E DEFORMAÇÕES DE ORIGEM VISCOSA NOS FLUIDOS NEWTONIANOS

Como a água é um fluido newtoniano, aqui será estudado apenas este tipo de relação tensão-deformação. Um corpo rígido pode sofrer movimentos de translação e rotação. Cinematicamente, o que o diferencia de um corpo fluido é sua incapacidade de se deformar.

²¹tensões por unidade de superfície.

²² Homogêneo = ομ| ω (semelhante) + γε'voς (origem, natureza). Se diz dos materiais cujas propriedades físicas são uniformemente distribuídas.

Isotrópico = ×σος (igual) + τρ| πος (direção). Se diz de um material cujas propriedades físicas são independentes da direção.

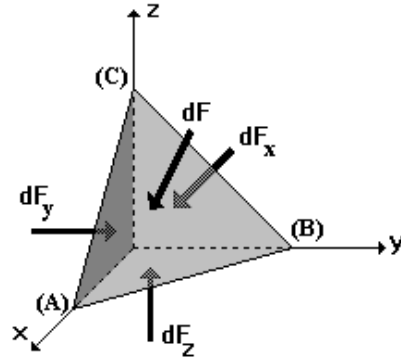


Figura 19- O tetraedro dos esforços.

Logo, as forças viscosas conduzem apenas à deformação da massa fluida. Será feita uma analogia com os corpos sólidos deformáveis, para se atingir uma expressão geral do escoamento dos fluidos newtonianos.

Observando as equações 25, 26 e 27, verifica-se que a velocidade de deformação pode ser decomposta em dois tipos:

❶ *Velocidade de deformação linear ou de dilatação.* Altera apenas o comprimento dos eixos, sendo representada pelo seguinte vetor:

$$\left(\frac{\partial u}{\partial x} ; \frac{\partial v}{\partial y} ; \frac{\partial w}{\partial z} \right) \quad (92)$$

❷ *Velocidade de deformação angular.* Altera o ângulo dos eixos, segundo o vetor:

$$\left(\frac{\partial w}{\partial y} + \frac{\partial v}{\partial z} ; \frac{\partial u}{\partial z} + \frac{\partial w}{\partial x} ; \frac{\partial v}{\partial x} + \frac{\partial u}{\partial y} \right) \quad (93)$$

11.1. Tensões Normais

Sabe-se, pela lei de Hooke, que a relação entre as tensões normais e as deformações lineares de um corpo homogêneo e isotrópico leva em conta o efeito da deformação transversal nos dois sentidos ortogonais ao sentido da deformação longitudinal, por uma questão de continuidade e coesão, ou seja:

$$\begin{pmatrix} \varepsilon_x \\ \varepsilon_y \\ \varepsilon_z \end{pmatrix} = \begin{pmatrix} \frac{\partial \xi}{\partial x} \\ \frac{\partial \eta}{\partial y} \\ \frac{\partial \zeta}{\partial z} \end{pmatrix} = \frac{1}{E} \begin{pmatrix} 1 & -\frac{1}{\zeta} & -\frac{1}{\zeta} \\ -\frac{1}{\zeta} & 1 & -\frac{1}{\zeta} \\ -\frac{1}{\zeta} & -\frac{1}{\zeta} & 1 \end{pmatrix} \begin{pmatrix} \sigma_x \\ \sigma_y \\ \sigma_z \end{pmatrix} = \frac{1+\zeta}{\zeta E} \begin{pmatrix} \sigma_x \\ \sigma_y \\ \sigma_z \end{pmatrix} - \frac{1}{\zeta E} \begin{pmatrix} \sigma_x + \sigma_y + \sigma_z \\ \sigma_x + \sigma_y + \sigma_z \\ \sigma_x + \sigma_y + \sigma_z \end{pmatrix} \quad (94)$$

na qual ξ , η e ζ são as componentes do deslocamento ao longo das direções x , y e z , respectivamente; E é o Módulo de Elasticidade e ζ é o Coeficiente de Poisson²³. Mas, através da Teoria da Elasticidade, sabe-se que:

$$E = \frac{2(\zeta+1)}{\zeta} G \quad (95)$$

em que G é o módulo de torção. Fazendo

$$\begin{cases} \varepsilon = \varepsilon_x + \varepsilon_y + \varepsilon_z \\ \bar{\sigma} = \frac{1}{3}(\sigma_x + \sigma_y + \sigma_z) \end{cases} \quad (96)$$

obtém-se:

$$\varepsilon = \frac{3(\zeta-2)\bar{\sigma}}{2(\zeta+1)G} \Rightarrow \bar{\sigma} = \frac{2(\zeta+1)G\varepsilon}{3(\zeta-2)} \Rightarrow \zeta = \frac{2G\varepsilon + 6\bar{\sigma}}{3\bar{\sigma} - 2G\varepsilon} \quad (97)$$

Substituindo as equações 93, 94 e 95 na equação 92, obtém-se:

²³S. D. Poisson (1781-1840). Geômetra e físico francês. Escreveu grande quantidade de tópicos em Magnetismo, Astronomia, nos estudos de Escoamentos Viscosos, Elasticidade, Potencial Gravitacional e na Teoria das Probabilidades.

ELEMENTOS DE MECÂNICA DOS FLUIDOS

$$\left\{ \begin{array}{l} \sigma_x = 2G\varepsilon_x + \frac{3\bar{\sigma}}{1+\zeta} \\ \sigma_y = 2G\varepsilon_y + \frac{3\bar{\sigma}}{1+\zeta} \\ \sigma_z = 2G\varepsilon_z + \frac{3\bar{\sigma}}{1+\zeta} \end{array} \right. \Rightarrow \left\{ \begin{array}{l} \sigma_x = 2G\varepsilon_x + \frac{2G\varepsilon}{\zeta-2} \\ \sigma_y = 2G\varepsilon_y + \frac{2G\varepsilon}{\zeta-2} \\ \sigma_z = 2G\varepsilon_z + \frac{2G\varepsilon}{\zeta-2} \end{array} \right. \Rightarrow \left\{ \begin{array}{l} \sigma_x = \bar{\sigma} + 2G\varepsilon_x - \frac{2}{3}G\varepsilon \\ \sigma_y = \bar{\sigma} + 2G\varepsilon_y - \frac{2}{3}G\varepsilon \\ \sigma_z = \bar{\sigma} + 2G\varepsilon_z - \frac{2}{3}G\varepsilon \end{array} \right. \quad (98)$$

ou seja:

$$\left\{ \begin{array}{l} \sigma_x = \bar{\sigma} + 2G \frac{\partial \xi}{\partial x} - \frac{2}{3}G \left(\frac{\partial \xi}{\partial x} + \frac{\partial \eta}{\partial y} + \frac{\partial \zeta}{\partial z} \right) \\ \sigma_y = \bar{\sigma} + 2G \frac{\partial \eta}{\partial y} - \frac{2}{3}G \left(\frac{\partial \xi}{\partial x} + \frac{\partial \eta}{\partial y} + \frac{\partial \zeta}{\partial z} \right) \\ \sigma_z = \bar{\sigma} + 2G \frac{\partial \zeta}{\partial z} - \frac{2}{3}G \left(\frac{\partial \xi}{\partial x} + \frac{\partial \eta}{\partial y} + \frac{\partial \zeta}{\partial z} \right) \end{array} \right. \quad (99)$$

11.2. Tensões Tangenciais

As tensões de cisalhamento são conseqüências diretas dos momentos torçores, portanto:

$$\left\{ \begin{array}{l} \tau_{yz} = G \left(\frac{\partial \zeta}{\partial y} + \frac{\partial \eta}{\partial z} \right) \\ \tau_{xz} = G \left(\frac{\partial \zeta}{\partial x} + \frac{\partial \xi}{\partial z} \right) \\ \tau_{xy} = G \left(\frac{\partial \eta}{\partial x} + \frac{\partial \xi}{\partial y} \right) \end{array} \right. \quad (100)$$

11.3. Hipóteses de Stokes

Stokes²⁴ formulou as seguintes hipóteses:

- ① O módulo de torção de um corpo sólido equivale à viscosidade de um corpo fluido.
- ② A tensão normal média deve ser substituída pela pressão -p do escoamento.
- ③ Como as tensões são proporcionais às derivadas temporais das deformações, isso corresponde a substituir $\frac{d\xi}{dt}$ por u, $\frac{d\eta}{dt}$ por v e $\frac{d\zeta}{dt}$ por w.

Portanto, estas hipóteses resultam em:

$$\left\{ \begin{array}{l} \sigma_x = -p + 2\mu \frac{\partial u}{\partial x} - \frac{2}{3}\mu \vec{\nabla} \cdot \vec{V} \\ \sigma_y = -p + 2\mu \frac{\partial v}{\partial y} - \frac{2}{3}\mu \vec{\nabla} \cdot \vec{V} \\ \sigma_z = -p + 2\mu \frac{\partial w}{\partial z} - \frac{2}{3}\mu \vec{\nabla} \cdot \vec{V} \end{array} \right. \quad \text{e} \quad \left\{ \begin{array}{l} \tau_{xy} = \mu \left(\frac{\partial u}{\partial y} + \frac{\partial v}{\partial x} \right) \\ \tau_{yz} = \mu \left(\frac{\partial w}{\partial y} + \frac{\partial v}{\partial z} \right) \\ \tau_{xz} = \mu \left(\frac{\partial w}{\partial x} + \frac{\partial u}{\partial z} \right) \end{array} \right. \quad (101)$$

²⁴ George Stokes (1819-1903). Matemático inglês. Trabalhou a vida toda na Universidade de Cambridge, onde fez grandes contribuições à Hidrodinâmica e à Teoria Eletromagnética da Luz.

11.4. Equilíbrio Dinâmico

A figura 20 mostra as forças de superfície em um elemento de volume de um fluido em movimento.

Aplicando a segunda lei de Newton a esse volume, se obtém:

$$dm \frac{D\vec{V}}{Dt} = g \cdot dm \begin{pmatrix} X \\ Y \\ Z \end{pmatrix} + \begin{pmatrix} \frac{\partial F_x}{\partial x} dx \\ \frac{\partial F_y}{\partial y} dy \\ \frac{\partial F_z}{\partial z} dz \end{pmatrix} \quad (102)$$

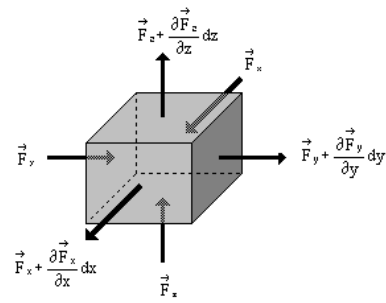


Figura 20- Equilíbrio dinâmico de forças.

Mas, como

$$\begin{cases} \frac{\partial F_x}{\partial x} = \left(\frac{\partial \sigma_x}{\partial x} + \frac{\partial \tau_{xy}}{\partial y} + \frac{\partial \tau_{xz}}{\partial z} \right) dydz \\ \frac{\partial F_y}{\partial y} = \left(\frac{\partial \tau_{xy}}{\partial x} + \frac{\partial \sigma_y}{\partial y} + \frac{\partial \tau_{yz}}{\partial z} \right) dx dz \\ \frac{\partial F_z}{\partial z} = \left(\frac{\partial \tau_{xz}}{\partial x} + \frac{\partial \tau_{yz}}{\partial y} + \frac{\partial \sigma_z}{\partial z} \right) dx dy \end{cases} \quad (103)$$

a equação 100 fica:

$$\begin{cases} \rho \frac{du}{dt} = \rho g X + \left(\frac{\partial \sigma_x}{\partial x} + \frac{\partial \tau_{xy}}{\partial y} + \frac{\partial \tau_{xz}}{\partial z} \right) \\ \rho \frac{dv}{dt} = \rho g Y + \left(\frac{\partial \tau_{xy}}{\partial x} + \frac{\partial \sigma_y}{\partial y} + \frac{\partial \tau_{yz}}{\partial z} \right) \\ \rho \frac{dw}{dt} = \rho g Z + \left(\frac{\partial \tau_{xz}}{\partial x} + \frac{\partial \tau_{yz}}{\partial y} + \frac{\partial \sigma_z}{\partial z} \right) \end{cases} \quad (104)$$

Portanto, sob a forma vetorial, a equação 104 pode ser escrita como:

$$\rho \frac{D\vec{V}}{Dt} - \rho g \vec{e}_g + \vec{\nabla} p - \frac{\mu}{3} \vec{\nabla} (\vec{\nabla} \cdot \vec{V}) - \mu \nabla^2 \vec{V} = 0 \quad (105)$$

A expressão acima é a equação mais importante da dinâmica dos fluidos newtonianos e foi obtida sucessivamente por Navier (1827), Poisson (1831), Saint-Venant (1843) e Stokes (1845), recebendo a denominação atual de *Equação de Navier-Stokes* ■

12. BIBLIOGRAFIA RECOMENDADA

AZEVEDO NETO, J. M. (1973) - **Manual de Hidráulica**. Editora Edgar Blücher, São Paulo (SP).

GARCEZ, L. N. (1960)- **Elementos de Mecânica dos Fluidos - Hidráulica Geral**. Editora Edgar Blücher, São Paulo (SP).

PIMENTA, C. F. (1977)- **Curso de Hidráulica Geral**. Vol. 1, Centro Tecnológico de Hidráulica, São Paulo (SP).

ELEMENTOS DE MECÂNICA DOS FLUIDOS

SILVESTRE, P. (1964)- **Hidráulica Geral**. Livros Técnicos e Científicos. Rio de Janeiro, RJ.
VIEIRA, R. C. C. (1971)- **Atlas de Mecânica dos Fluidos - Fluidodinâmica**. Editora Edgar
Blücher, São Paulo (SP).

Antônio Cardoso Neto
Engenheiro Civil (Universidade de São Paulo, 1977)
Mestre em Hidráulica e Saneamento (Universidade de São Paulo, 1983)
PhD em Engenharia Civil (University of Southampton, 1994)
Especialista em Recursos Hídricos
da Superintendência de Informações Hidrológicas
da Agência Nacional de Águas